

The Process Control in Manufacturing: Inspection of Ball Bearings

M. Lanzetta, G. Tantussi, M. Santochi



University of Pisa

*Department of Mechanical, Nuclear and
Production Engineering*

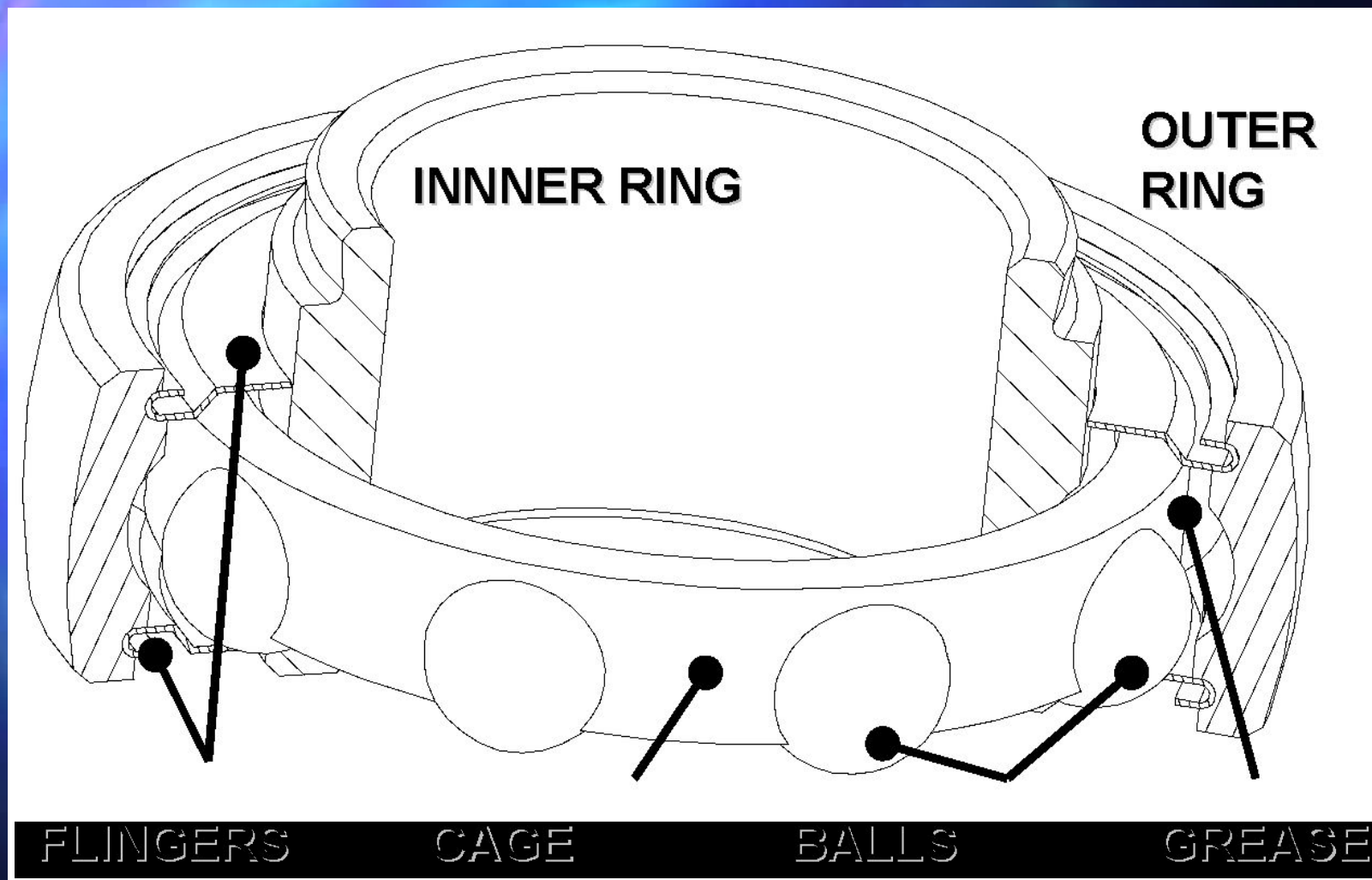


Introduction

- Goal: improving the process in an existing manufacturing plant
- Finding possible solutions
- Feasibility study (artificial vision system)



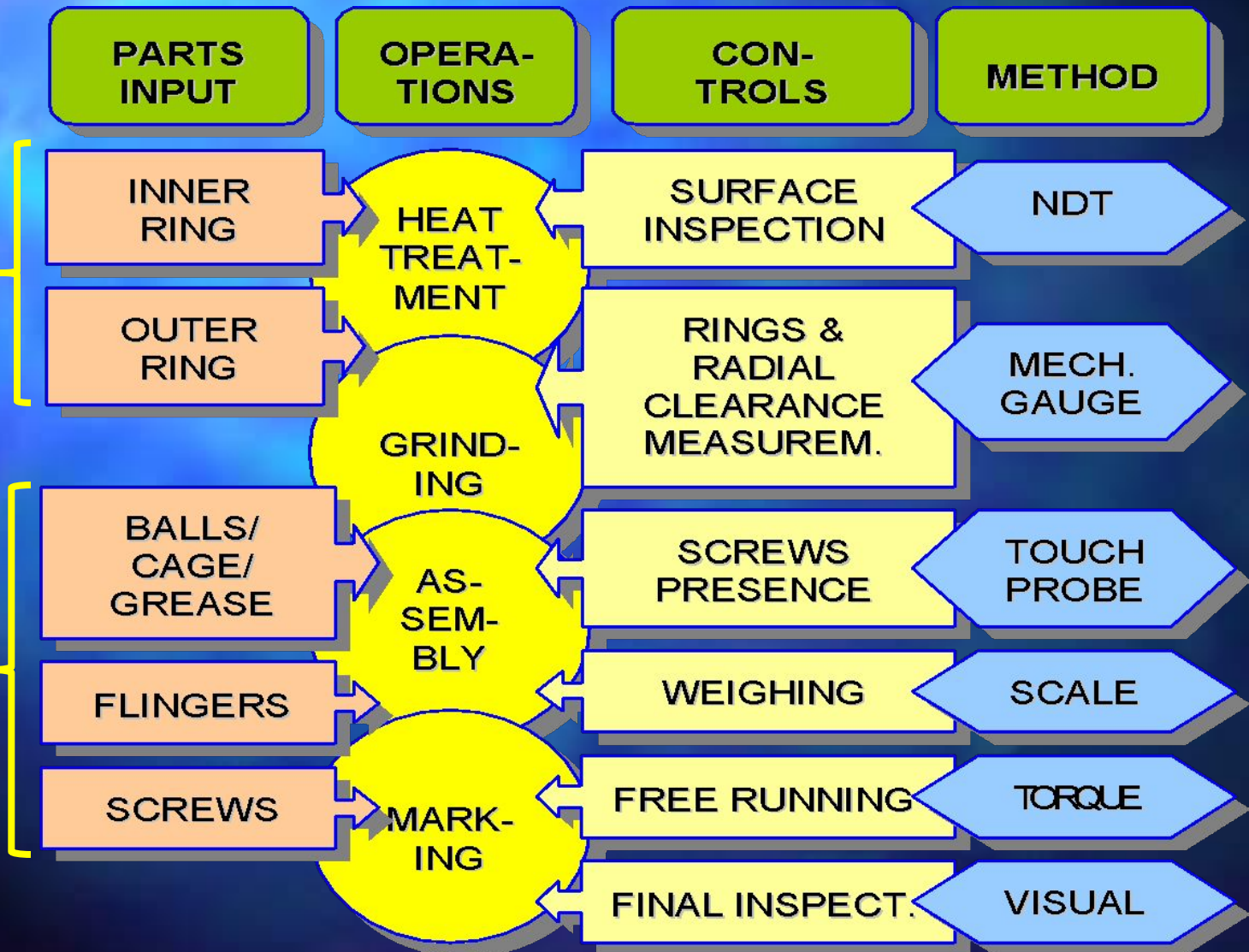
The main functional parts



Ball bearing model SKF yet 208



The assembly process





Examples of defects

DAMAGED FLINGER



BLOT ON FLINGER



RUST TRACES



THREADED HOLES

TURNING MARKS



HAMMERING ON FLINGER



Turning or grinding marks





Classification of visible defects

Defect Name	Position and Example Reference	Relative Occurr.
TURNING MARKS	IS, OS, IPF, OPF	28%
GRINDING MARKS	IS, OS, IPF, OPF	11%
RUST TRACES	IS, OS, IPF, OPF	38%
HAMMERING	F	20%
BLOT	F	
UNREADABLE MARKING	IPF (ON 1 SIDE ONLY)	3%



The visual inspection station

Operator's tasks:

- Checking the presence of all parts
- Detection of esthetical / surface defects

• R

Specifications of the vision system

+

- Functional test
- Handling
- Etc.



Analisi dei difetti

Studio dei dati ricavati dalle azioni correttive relative a 9 mesi di produzione



Causa del mancato rilevamento dei difetti è imputabile a disattenzioni dell'operatore

Motivi del mancato rilevamento:



- **Soggettività della decisione di scarto.**
- **Operatore deve presidiare altre fasi del processo;**

Possibili soluzioni:

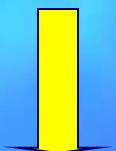


- **Impiego di maggiori risorse umane;**
- **Utilizzo di un sistema di visione.**

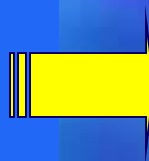
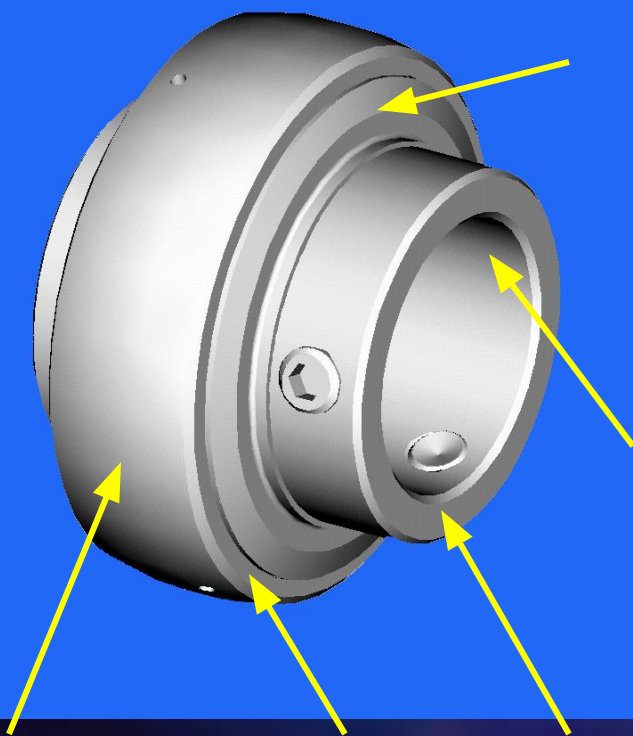


L'attrezzatura sperimentale

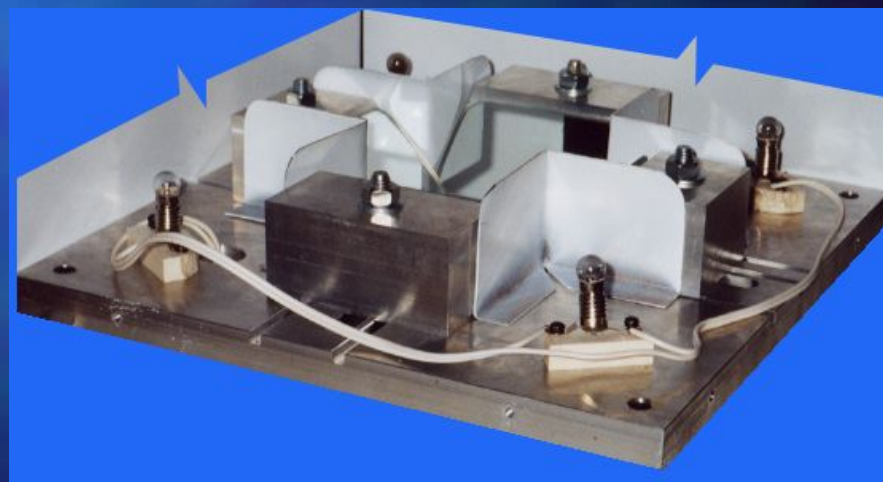
Analisi dei difetti



**Individuazione delle
superfici d'interesse**



**Progettazione e
realizzazione
dell'attrezzatura**



System configuration



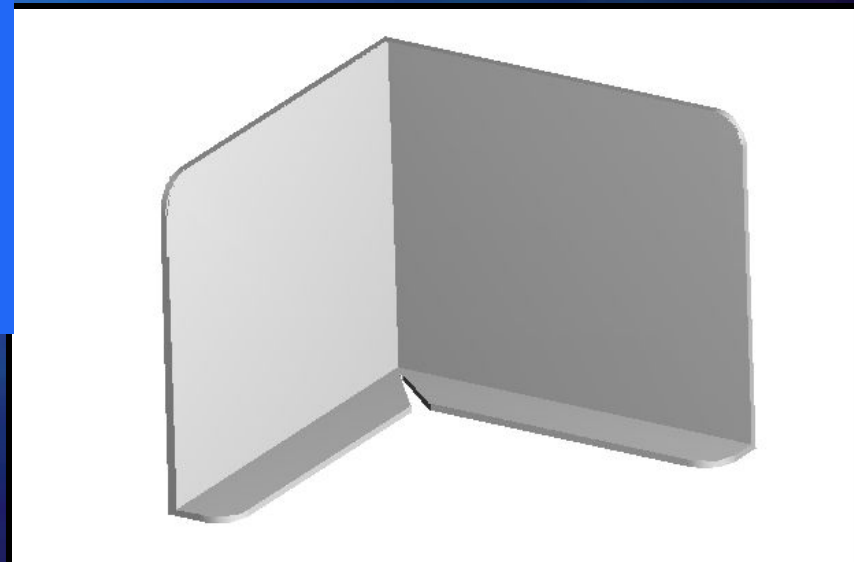
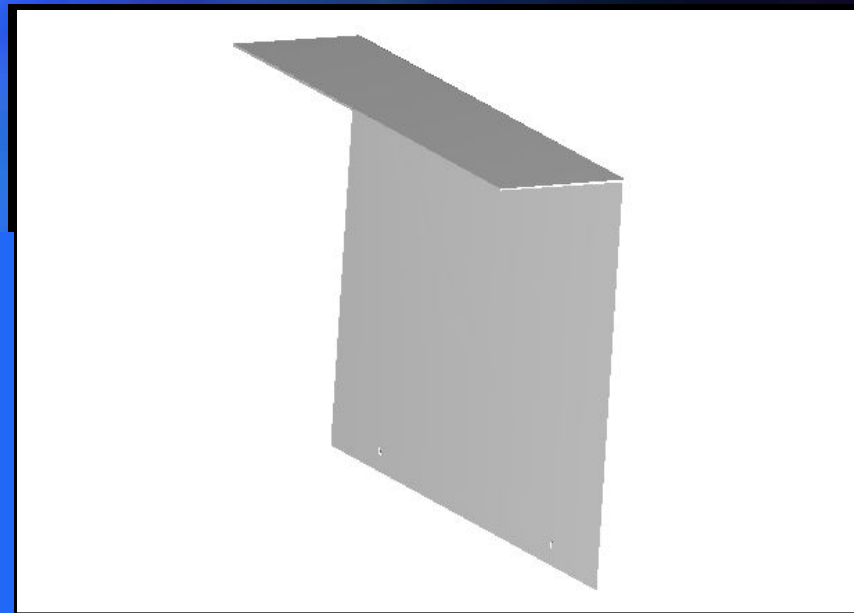
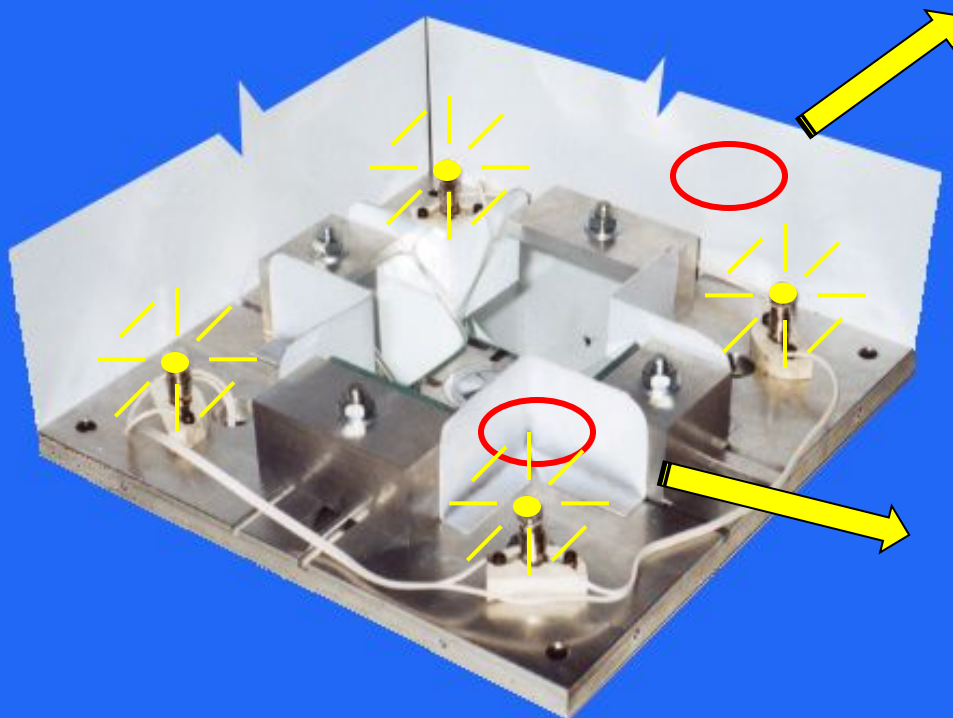
CENTER OF
PROJECTION

PROJECTION OF
THE INNER RING
SURFACE

(A)

(B)

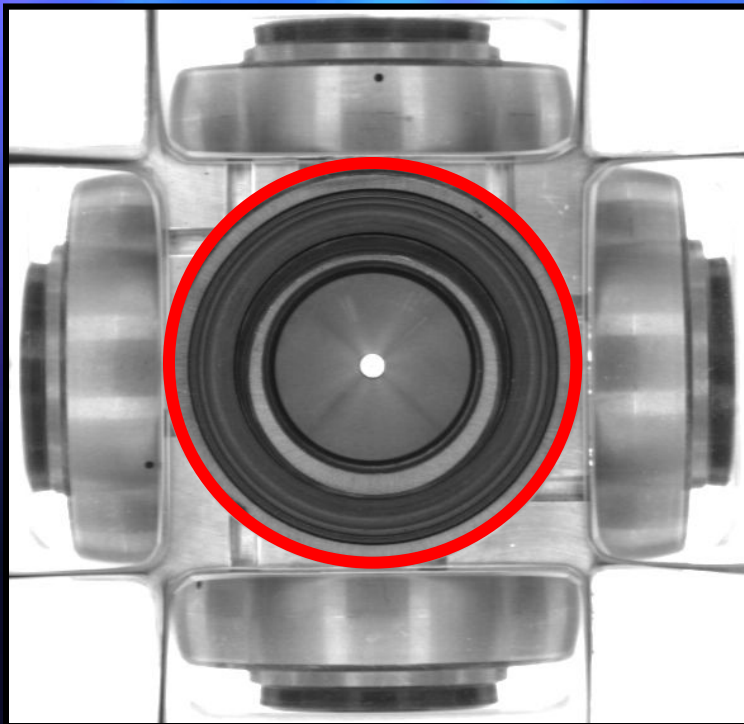
Experimental setup



Description of the algorithms



The grabbed image

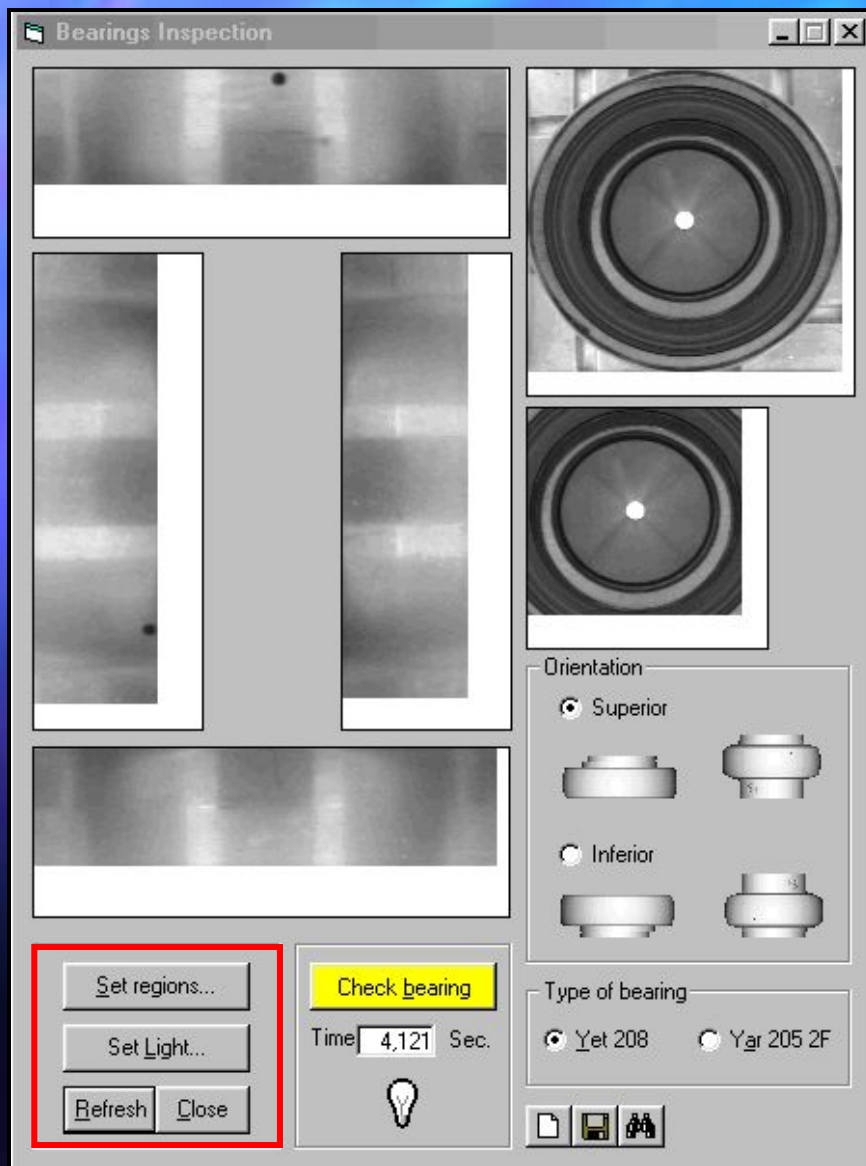


- 1. Only restricted areas contain useful information**
- 2. Axial symmetry exploited by image rotation**



An interface has been developed to interactively select the region of interest

Main program

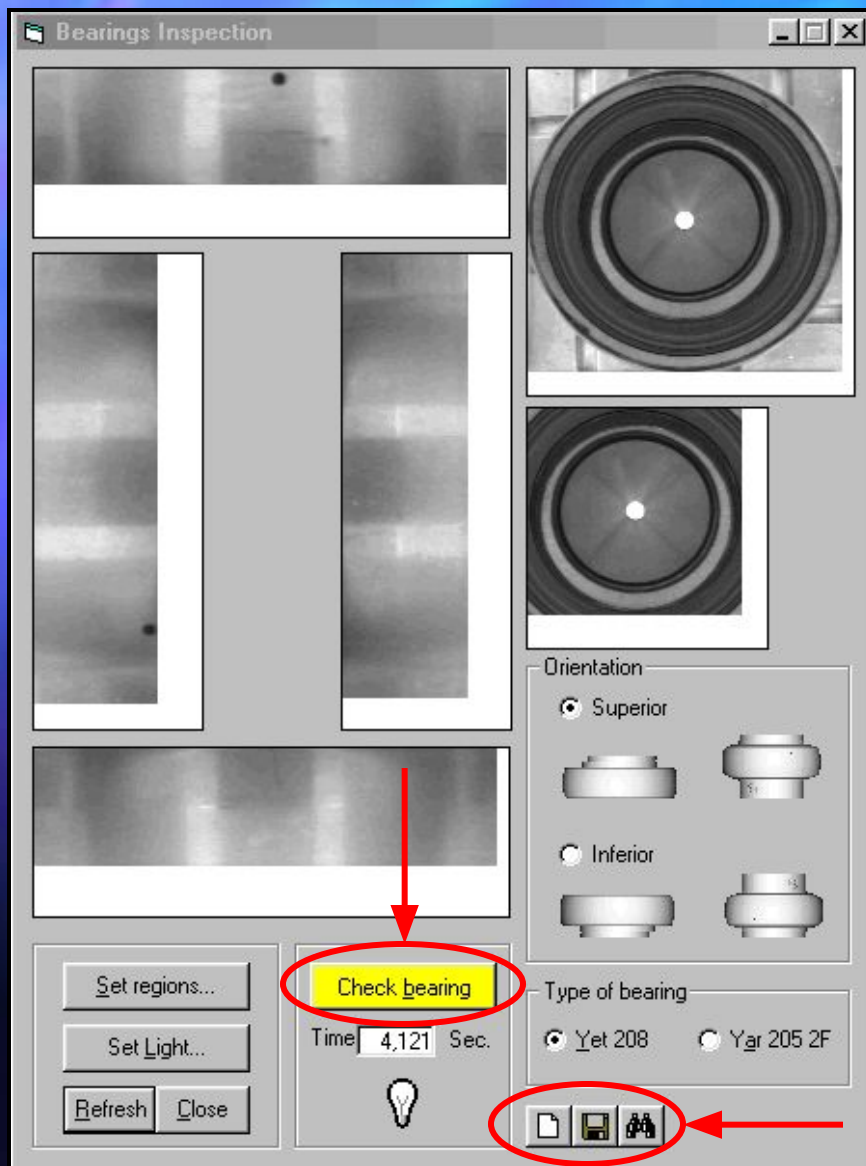


The main program interface with the selected image regions defined in the calibration phase

Selection of the ball bearing orientation

Selection of the ball bearing type
Buttons for the lighting system calibration

Main program



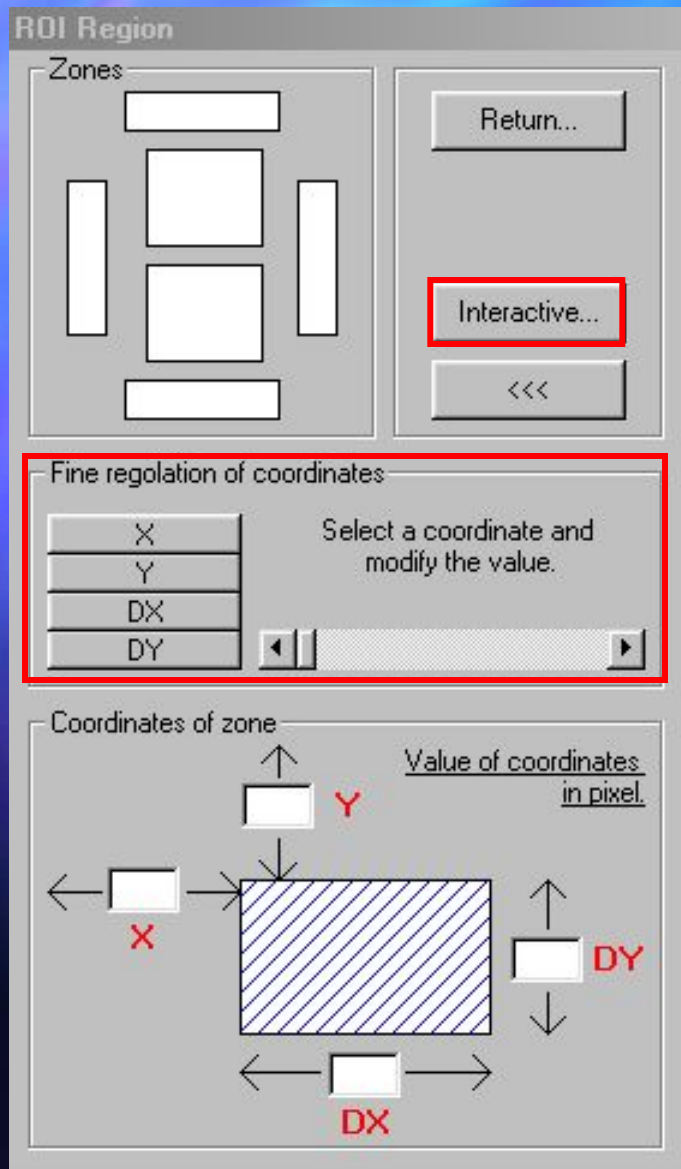
Start the inspection

Toolbar reporting activity

System calibration



Goal: Setting up the regions of
CALIBRATION PROCEDURE
interest



To avoid positioning errors

Selection of one of the
regions to set



Interactive procedure

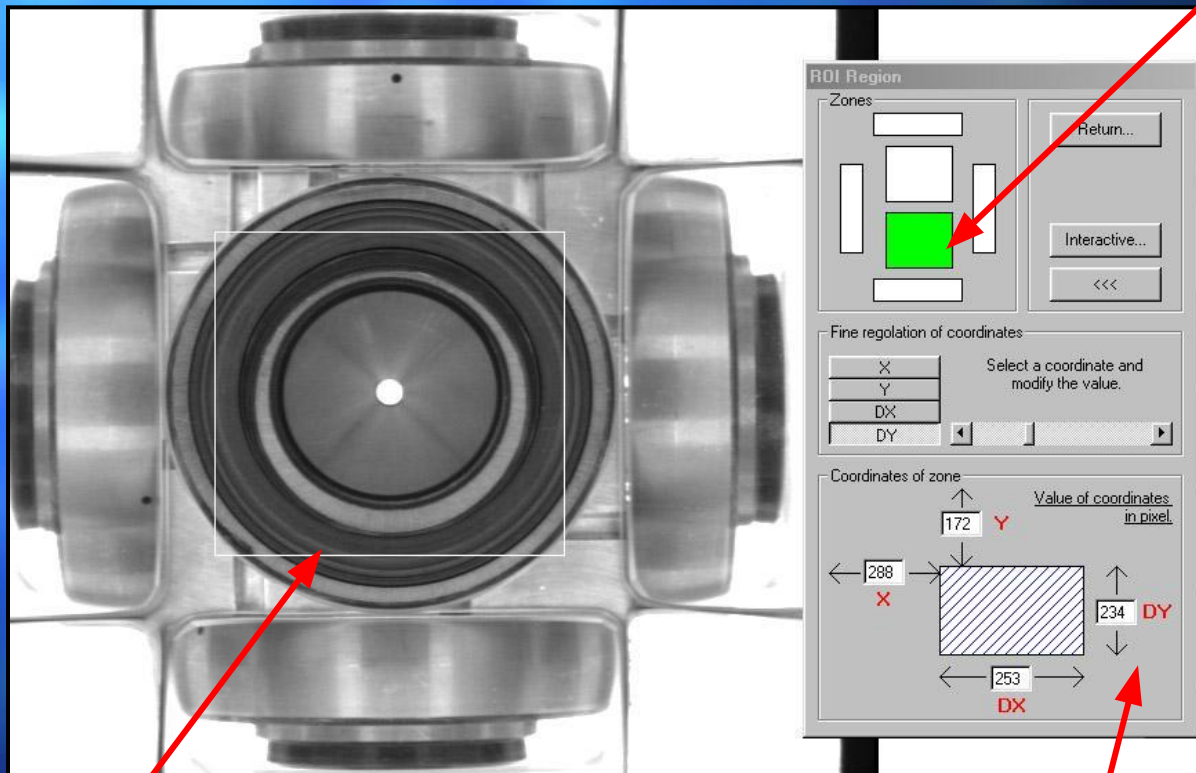


Fine tuning

Example of calibration



Selected display

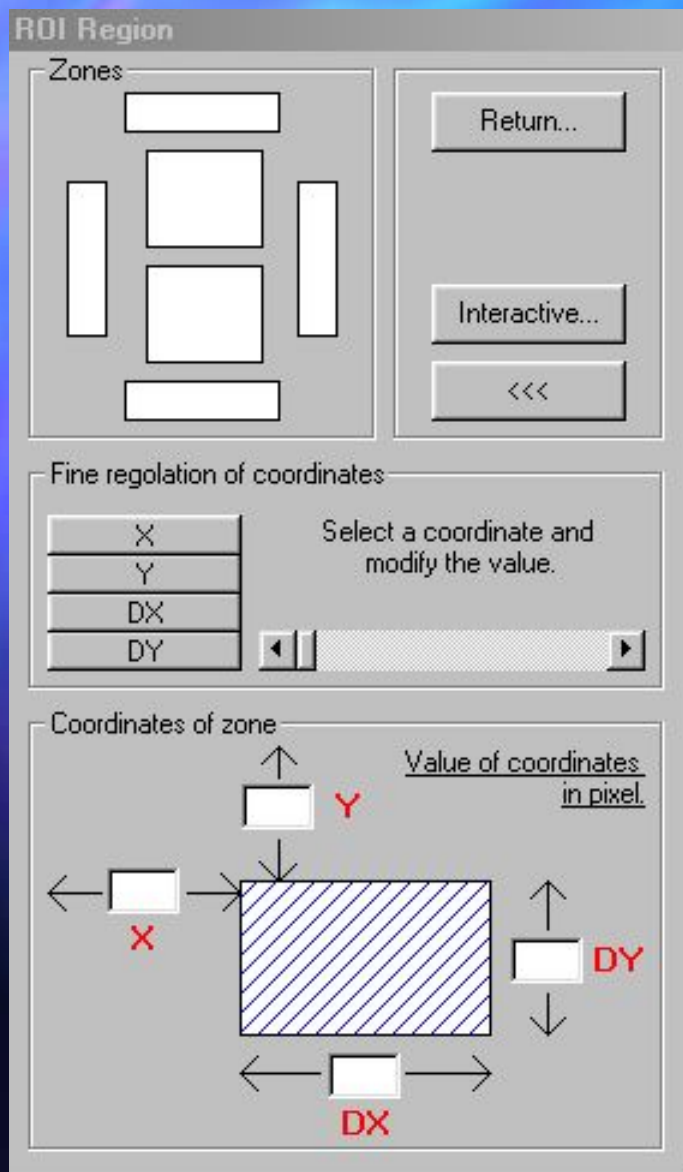


Selection of region of interest

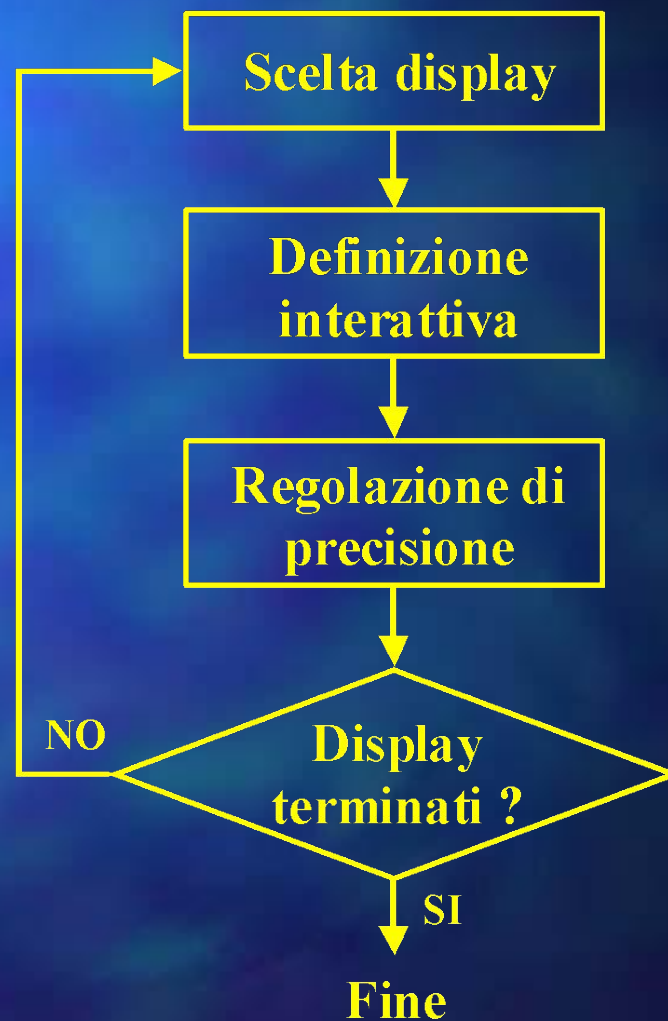
Coordinates of the region in pixels



Calibrazione



PROCEDURA DI CALIBRAZIONE:





Setup luminoso e report

Buona riuscita dei controlli
dipende dalla luminosità
dell'immagine



Schermatura
dell'attrezzatura

elimina
interferenze
ambientali



Implementazione di un
algoritmo che consenta la
regolazione del diaframma
dell'obiettivo

Tipo: Yet 208

Rilevato errore sullo schermo. ----> 23/06/00 ----> 16.58.31
Rilevato errore sulla superficie piana AE. ----> 23/06/00 ----> 16.58.32
Rilevato errore sulla superficie piana AE. ----> 23/06/00 ----> 16.59.01
Rilevato errore sulla superficie piana AE. ----> 23/06/00 ----> 16.59.19
Rilevato errore sullo schermo. ----> 23/06/00 ----> 16.59.35
Rilevato errore sulla superficie piana AE. ----> 23/06/00 ----> 17.00.30
Rilevato errore sullo schermo. ----> 23/06/00 ----> 17.00.43
Rilevato errore sulla superficie piana AI. ----> 23/06/00 ----> 17.01.01
Rilevato errore sullo schermo. ----> 23/06/00 ----> 17.01.28
Rilevato errore sullo schermo. ----> 23/06/00 ----> 17.08.35
Rilevato errore sullo schermo. ----> 23/06/00 ----> 17.09.44
Rilevato errore sulla superficie interna. ----> 23/06/00 ----> 17.10.24
Rilevato errore sulla superficie esterna. ----> 23/06/00 ----> 17.10.35
Rilevato errore sulla superficie interna. ----> 23/06/00 ----> 17.10.39

Posizione del difetto

Giorno

Ora



L'algoritmo di riconoscimento

**Implementazioni
classiche**

- **Utilizzo di parametri statistici di facile individuazione (Moda, Media);**

- **Immagine limite.**

$$I_{\text{sup}}(x, y) = I_m(x, y) + k \cdot \sigma(x, y)$$

$$I_{\text{inf}}(x, y) = I_m(x, y) - k \cdot \sigma(x, y)$$



Decisione scaturisce da

Variabilità naturale

un confronto con un

Studio attuale

modello di riferimento

Variabilità dovuta

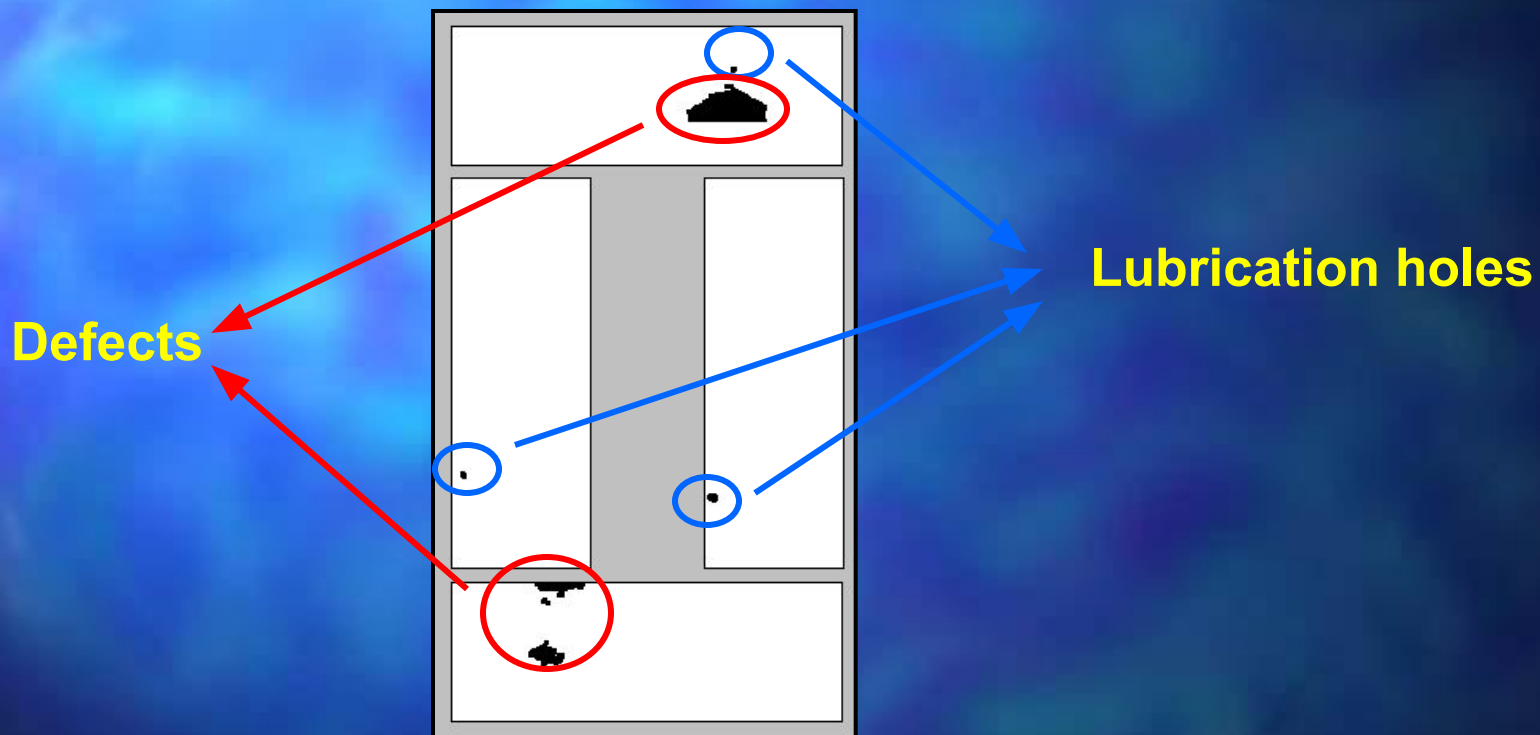
$$I_{\text{sup}}(x, y) = I_m(x, y) + k \cdot \sigma(x, y)$$

$$I_{\text{inf}}(x, y) = I_m(x, y) - k \cdot \sigma(x, y)$$

ai difetti

**Sviluppo di nuove
implementazioni**

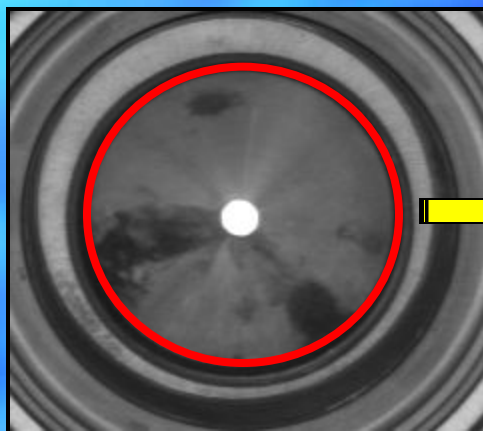
Inspection of the outer surface



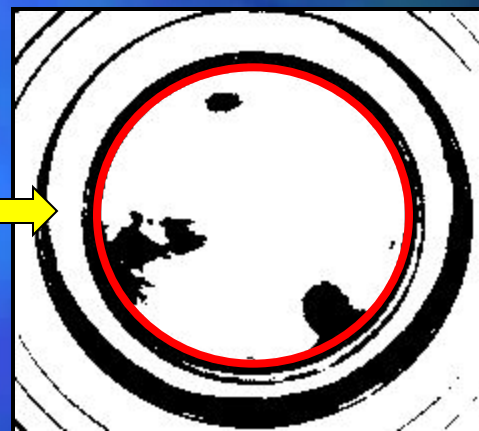
Inspection of the inner surface



**Model
Yet 208**

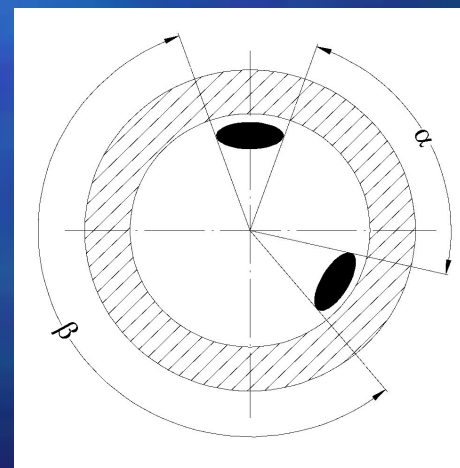
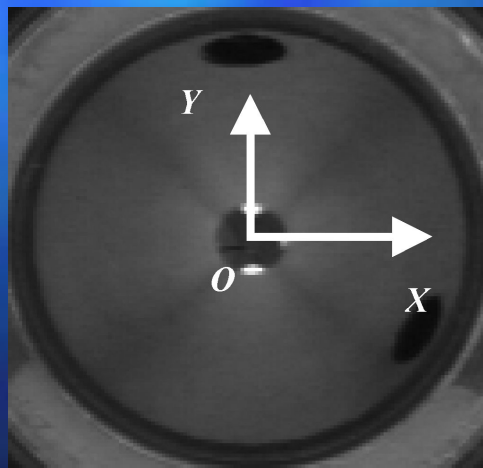


Original image



Binarized image

**Model
Yar 205 2f**



Hole-free area

L'algoritmo di riconoscimento

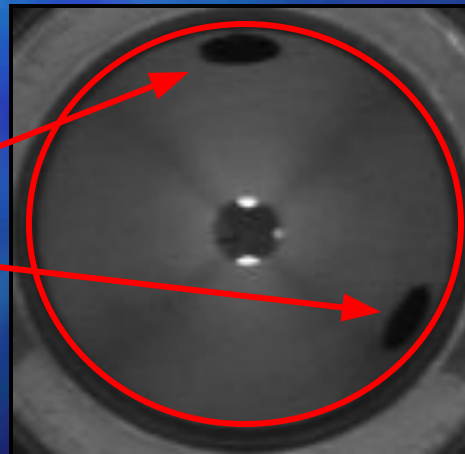


Verifica superficie anello
interno (Yar 205 2f)



Si definisce un'ellisse di
grandezza pari al cono centrale
e si indaga sulla presenza di
macchie al suo interno,
scartando quelle causate dalle 2
brugole di fissaggio.

Brugole



L'algoritmo di riconoscimento

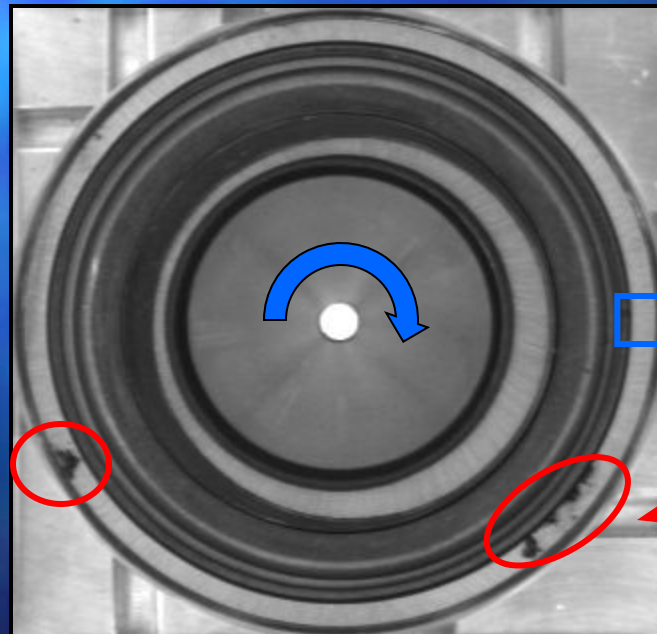


Verifica superfici piane



Si individua un rettangolo di controllo all'interno del quale si ricerca una consecutività di pixel.
La rotazione dell'immagine permette l'analisi dell'intera superficie piana.

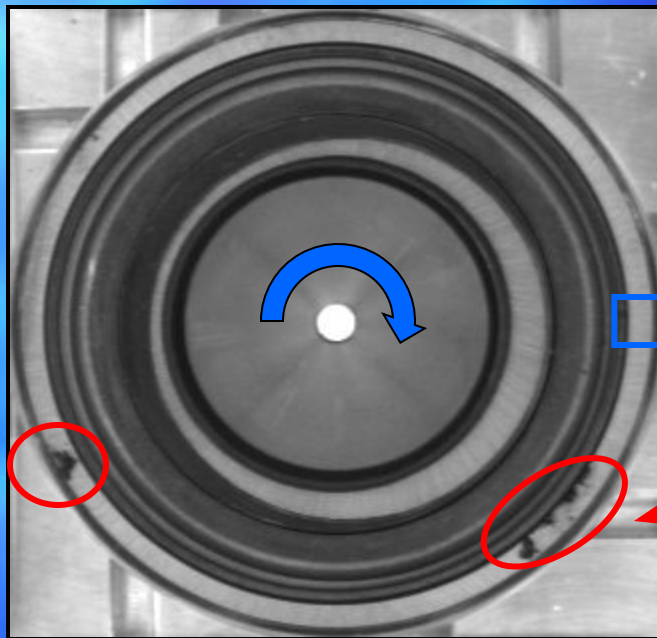
Difetto



Difetto



Inspection of the plane faces...



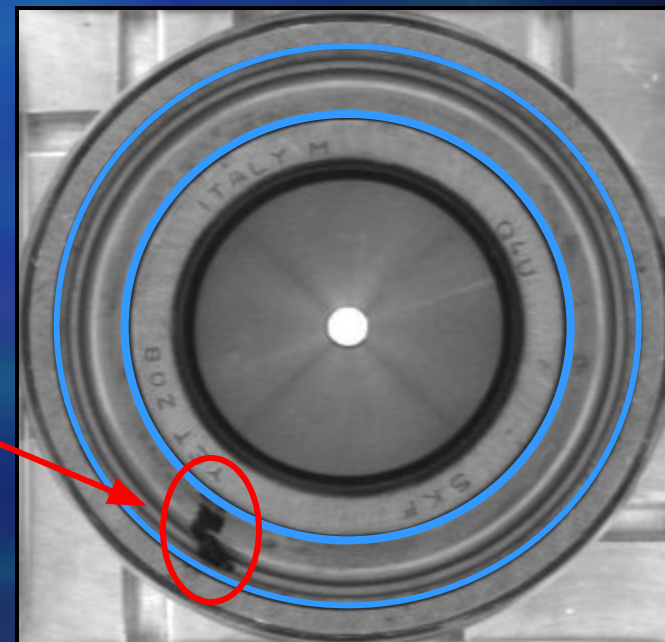
Inner and outer ring

Defect

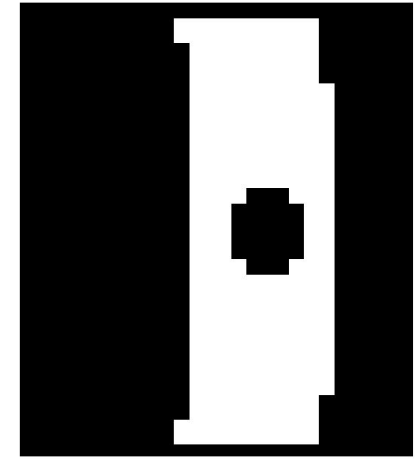
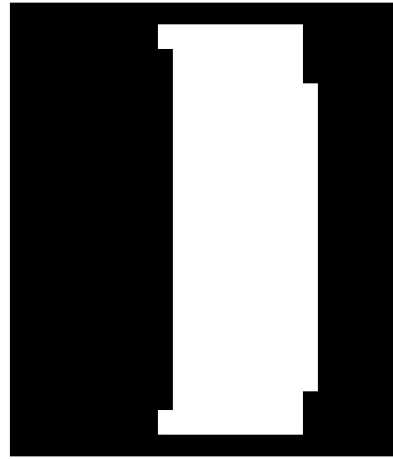
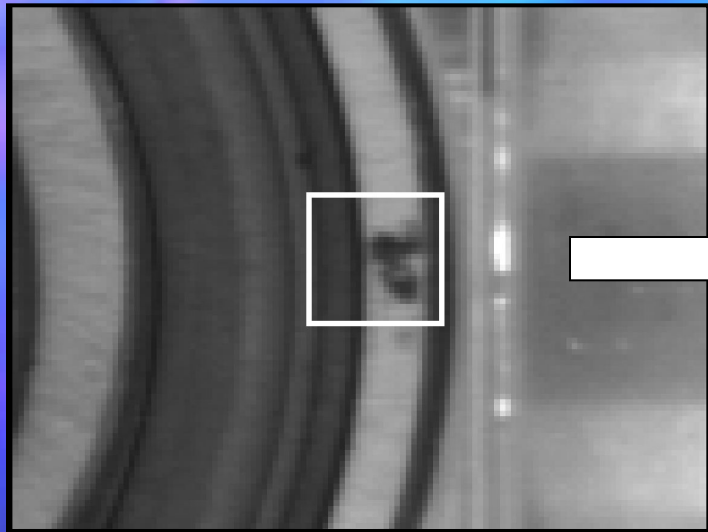
Defect

Flinger

Defect

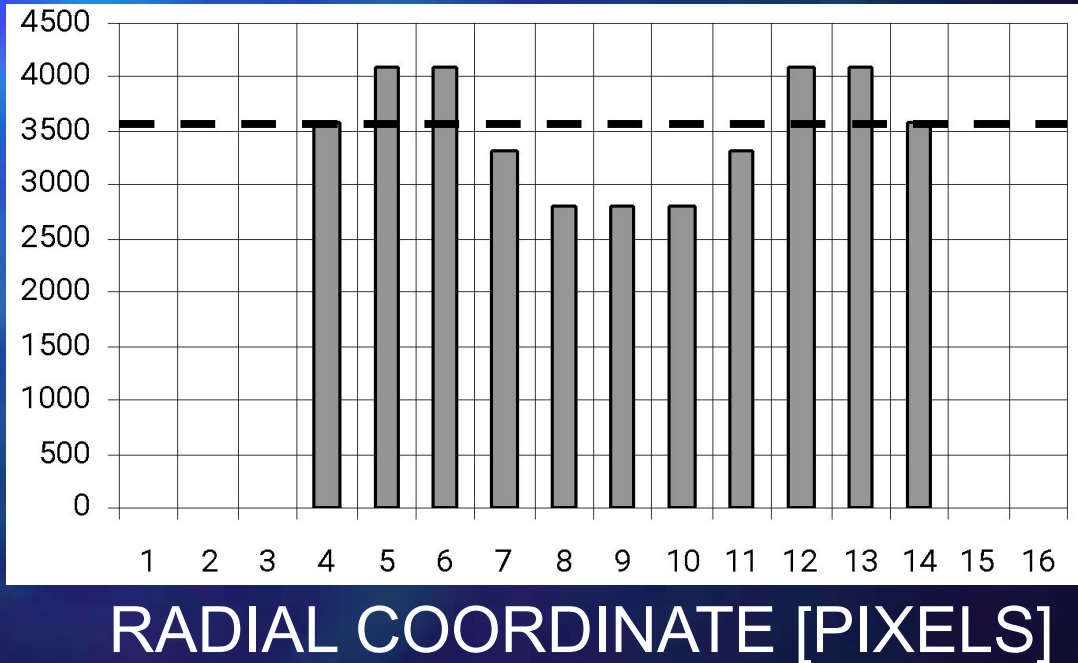


...Inspection of the plane faces



THRESHOLD

**LIGHT
INTENSITY
PROFILE
IN A COLUMN
[PIXELS]**



Prove e risultati sperimentali



**Prove in
condizioni
ottimali**



- **Riconosciuti i
cuscinetti buoni;**
- **Rilevati tutti i difetti tranne
le seguenti tipologie:**



Macchie di ruggine



**Piccole colpiture
sugli schermi**



Experimental results

Not detected

Reason

Possible solution

**Small hammerings on
fingers**



**Small light
changes**



**Structured light
Mechanical probe**

Rust traces



**Color
information
lost in
grayscale**



**Corrective action
with suppliers
(housing and
transportation)**



Summary and future work

- Specific hardware developed
- User-friendly software developed
- Main defects detected
- Inspection time < 6 s

System engineering

- interface to the line
- use of a line camera

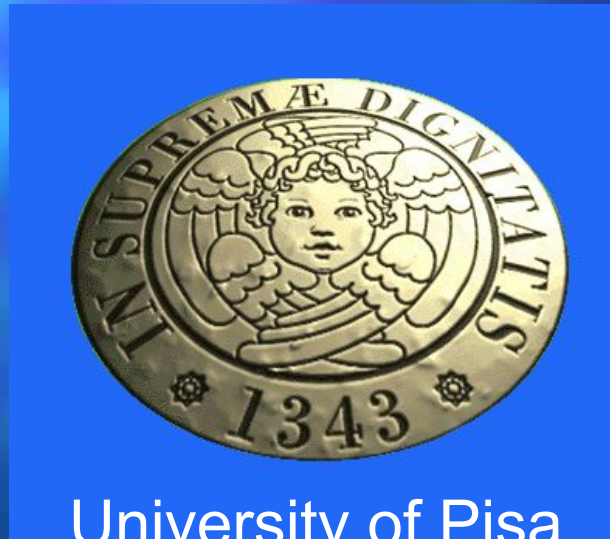


Conclusions

- ☑ Goal: improving the process in an existing manufacturing plant
 - System generalization
- ☑ Finding possible solutions
 - Corrective action taken with suppliers
- ☑ Feasibility study (artificial vision system)
 - HW and SW developed

The Process Control in Manufacturing: Inspection of Ball Bearings

M. Lanzetta, G. Tantussi, M. Santochi



University of Pisa

*Department of Mechanical, Nuclear and
Production Engineering*

Conclusioni



- **Corrective action taken with suppliers**

Vantaggi del sistema sviluppato:

Dimostrata la fattibilità di un controllo di qualità sui cuscinetti con un sistema a mandi fisiche.

2. **Durata elevata dell'attrezzatura;**
3. **Ingombro e peso ridotti;**
4. **Adattabilità ai diversi modelli di cuscinetto;**
5. **Utilizzo di una sola immagine per la rilevazione di tutte le informazioni.**



Conclusioni

Sviluppi futuri :

1. **Interfacciamento con il ciclo produttivo;**
2. **Caricamento pezzi in automatico (braccio robotico);**
3. **Unità di smistamento per la separazione dei cuscinetti difettosi;**